

# Physique Numérique – Semaine 13

## Rappel de la semaine 12

### 4.3 Schrödinger.

- Schéma semi-implicite de Crank-Nicolson
- Particule libre, étalement du paquet d'onde
- Initialiser une onde pour qu'elle se propage dans les 2 directions
- Principe d'incertitude de Heisenberg et transformée de Fourier
- Propriétés de conservation de la probabilité

## Plan de la semaine 13

### 4.2 Ondes: schéma exact pour $\beta=1$

### 4.3 Schrödinger

- Propriété de conservation de l'énergie
- Particule dans un potentiel  $V(x)$ ,
- Barrière de potentiel effet tunnel
- Oscillateur harmonique – états quasi-classiques
- DéTECTeur de particule

### Exercice 6: à rendre MERCREDI prochain.

# Physique Numérique – Semaine 13

Evaluation approfondie des cours: du 19 mai au 8 juin  
5 minutes à la fin du cours

- Aller sur la page d'accueil de Moodle (PAS sur celle du cours)
- Aller à la case «Evaluation approfondie»
- Sélectionner le cours PHYS-210\_SP25 et compléter le feedback

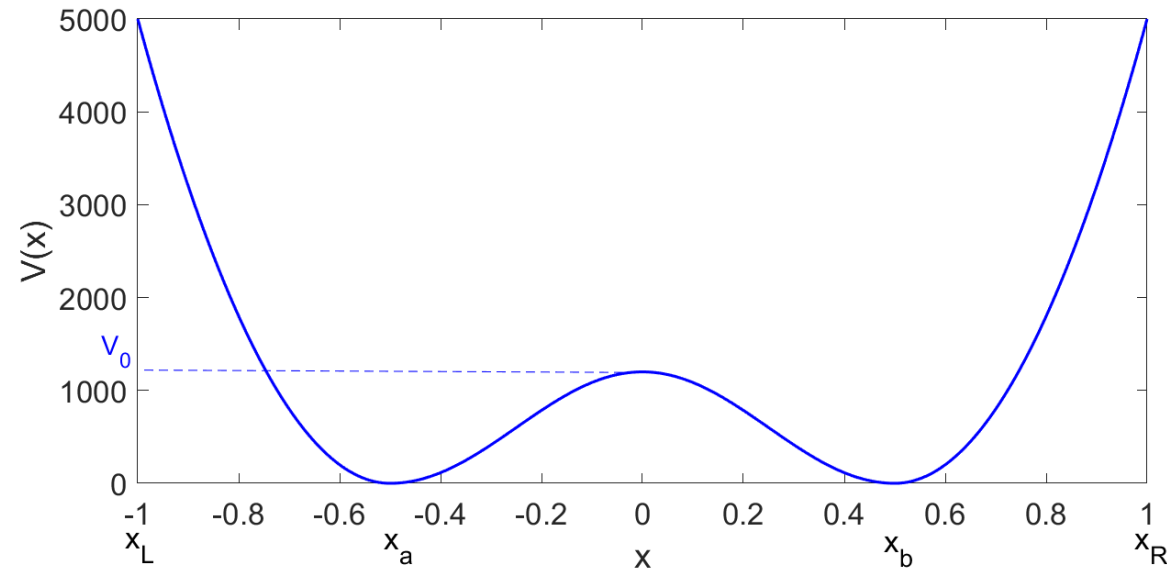
Retour sur les ondes, schéma explicite à 3 niveaux:  
Le schéma est **exact** dans le cas  $u^2=\text{const}$ ,  $\beta^2=1$

# Documentation

- Lecture pour la Semaine #13: Notes de cours
  - **Section 4.3. Schrödinger.**

<http://moodle.epfl.ch/mod/resource/view.php?id=8220>

# Exercice 6



- 2 sessions: 14, 21 mai
- Délai de rendu
  - ~~mardi 27 mai~~ → mercredi 28 mai 2025
- 3e session, 28 mai : “rattrappage”

# Ondes

Pour le cas  $u^2 = \text{const}$ , le schéma explicite à 3 niveaux est exact pour  $\beta = 1$ . En effet, on connaît la solution exacte :

$$f(x, t) = F(x - ut) + G(x + ut) \quad (48)$$

pour toutes fonctions  $F(\xi)$  et  $G(\eta)$ . Pour  $\beta = 1$ , le schéma, Eq.(6), devient :

$$f_{i,n+1} = -f_{i,n-1} + (f_{i+1,n} + f_{i-1,n}) \Leftrightarrow f_{i,n+1} + f_{i,n-1} = f_{i+1,n} + f_{i-1,n} \quad (49)$$

En substituant la solution exacte, on obtient :

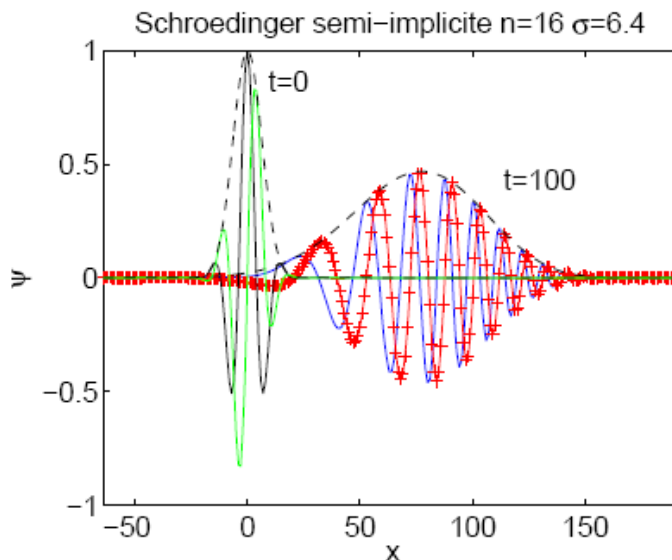
$$\begin{aligned} & F(x_i - ut_{n+1}) + G(x_i + ut_{n+1}) + F(x_i - ut_{n-1}) + G(x_i + ut_{n-1}) \\ = & F(x_{i+1} - ut_n) + G(x_{i+1} + ut_n) + F(x_{i-1} - ut_n) + G(x_{i-1} + ut_n) \end{aligned} \quad (50)$$

$$\begin{aligned} & F(x_i - ut_n - u\Delta t) + G(x_i + ut_n + u\Delta t) + F(x_i - ut_n + u\Delta t) + G(x_i + ut_n - u\Delta t) \\ = & F(x_i - ut_n + \Delta x) + G(x_i + ut_n + \Delta x) + F(x_i - ut_n - \Delta x) + G(x_i + ut_n - \Delta x) \end{aligned} \quad (51)$$

Avec  $\beta = 1$ , on a  $u\Delta t = \Delta x$ , et l'équation ci-dessus est bien identiquement satisfaite,  $\forall F, \forall G$ .

# ■ Exemples

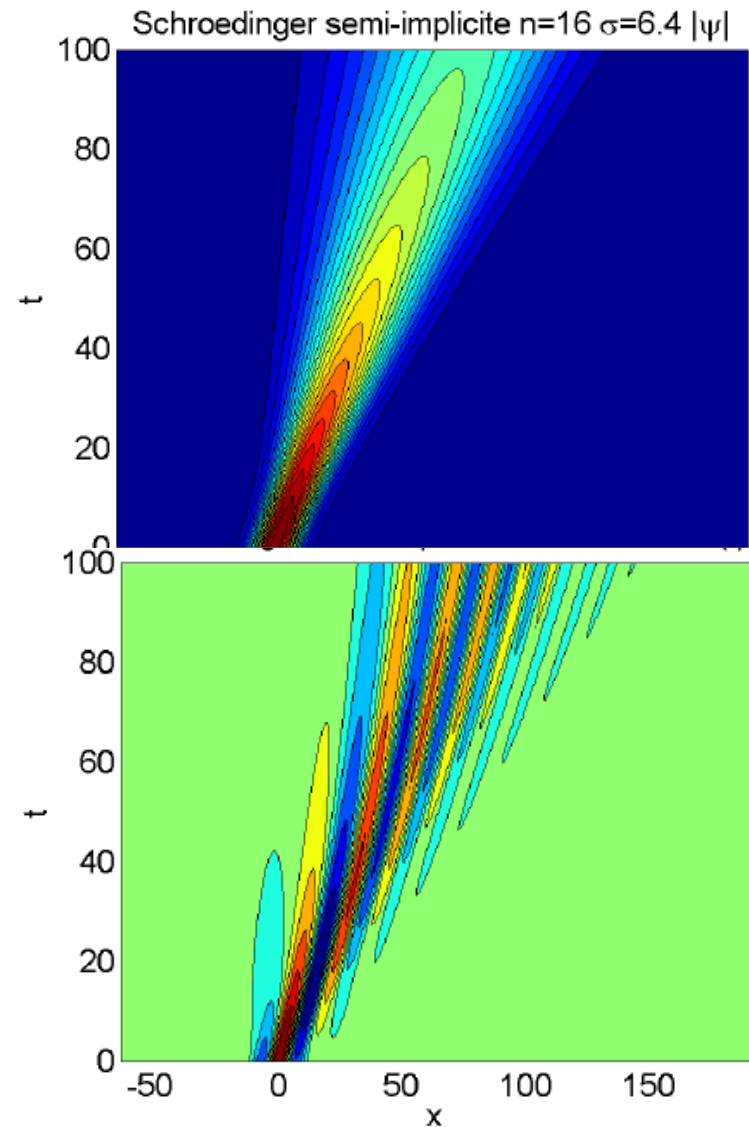
## □ 4.3.2 Particule libre



Etalement du paquet d'onde.

Effet de la **dispersion**, pas de diffusion!

(Etalement n'est pas  $\sim \sqrt{t}$ )



## Conservation de la probabilité: semi-implicite

**Le schéma de Crank-Nicolson conserve la probabilité:  $(\psi, \psi) = \text{const}$**

**Preuve:**

$$\underbrace{\left(1 + \frac{i}{\hbar} \frac{\Delta t}{2} H\right)}_{\text{Opérateur } A.} \psi(x, t + \Delta t) = \underbrace{\left(1 - \frac{i}{\hbar} \frac{\Delta t}{2} H\right)}_{\text{Opérateur } B.} \psi(x, t) \quad (4.90)$$

soit  $\alpha = \frac{\Delta t}{2\hbar} H$        $H$  hermitien  $\Rightarrow \alpha$  hermitien  $\Rightarrow B = A^* \Rightarrow$

$$\boxed{\psi_{t+\Delta t} = A^{-1} A^* \psi_t} \quad \text{soit } T_{\Delta t} = A^{-1} A^* \quad \boxed{\psi_{t+\Delta t} = T_{\Delta t} \psi_t}$$

**Lemme 1:**  $T_{-\Delta t} = T_{\Delta t}^*$       (preuves au tableau)

**Lemme 2:**  $T_{-\Delta t} = (T_{\Delta t})^{-1}$       Exprime la **réversibilité** du schéma

## Conservation de la probabilité: semi-implicite et implicite

**Le schéma de Crank-Nicolson conserve la probabilité:**  $(\psi, \psi) = \text{const}$

$$\text{Lemmes 1 et 2} \Rightarrow (T_{\Delta t})^{-1} = T_{\Delta t}^* \Leftrightarrow \boxed{T_{\Delta t} T_{\Delta t}^* = 1}$$

L'opérateur d'évolution temporelle est **unitaire**

Cette propriété implique directement la conservation de la probabilité. En effet:

$$(\psi_{t+\Delta t}, \psi_{t+\Delta t}) = (T_{\Delta t} \psi_t, T_{\Delta t} \psi_t) = (\psi_t, T_{\Delta t}^* T_{\Delta t} \psi_t) = (\psi_t, \psi_t)$$

**Un schéma complètement implicite ne conserve pas la probabilité:**

$$\boxed{\psi_{t+\Delta t} = (1 + 2i\alpha)^{-1} \psi_t}$$

**Lemme 1:**  $\boxed{T_{-\Delta t} = T_{\Delta t}^*}$  OK!

**Lemme 2:**  $\boxed{T_{-\Delta t} \neq (T_{\Delta t})^{-1}}$  Le schéma implicite n'est **PAS réversible!**

## Conservation de la probabilité: schéma explicite

Un schéma complètement explicite ne conserve pas la probabilité:

$$\psi_{t+\Delta t} = (1 - 2i\alpha) \psi_t$$

Lemme 1:

$$T_{-\Delta t} = T_{\Delta t}^*$$

OK!

Lemme 2:

$$T_{-\Delta t} \neq (T_{\Delta t})^{-1}$$

Le schéma explicite n'est **PAS réversible!**

Le schéma Crank-Nicolson est **semi-implicite**, ou «**centré**» au milieu de l'intervalle temporel. Cette propriété est ici liée à la propriété de **conservation**. De façon générale, les schémas de différences finies «centrés» sont préférables, on gagne en **ordre de convergence**.

## Conservation de l'énergie

La propriété de conservation de l'énergie, en mécanique quantique, devient la conservation de l'espérance mathématique de l'hamiltonien. Elle s'appuie essentiellement sur la propriété que l'Hamiltonien  $H$  est hermitien. Il est donc essentiel que la discrétisation spatiale de l'Hamiltonien préserve cette propriété. Une fois de plus: **il faut que la matrice H soit hermitienne!**

$$\langle H \rangle(t) = \text{const}$$

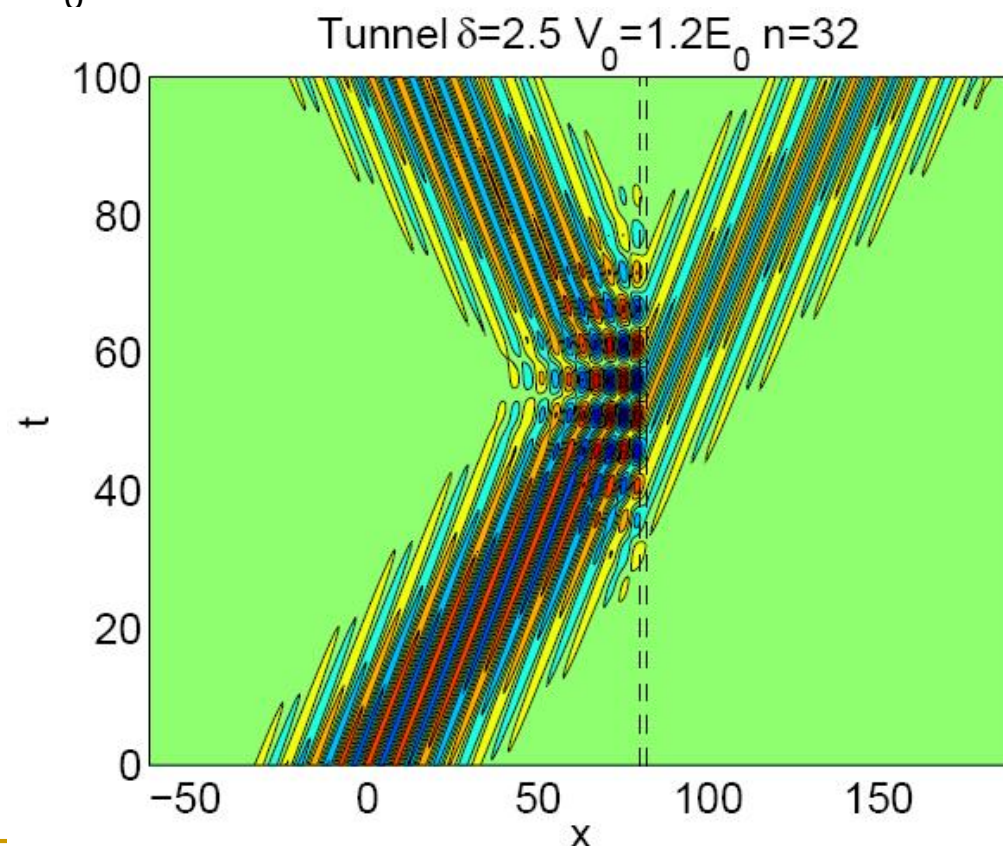
Preuve:

$$\begin{aligned}
 \frac{d}{dt} \langle H \rangle(t) &= \frac{d}{dt} (\psi, H\psi) = \left( \frac{\partial \psi}{\partial t}, H\psi \right) + \left( \psi, H \frac{\partial \psi}{\partial t} \right) \\
 &\quad \text{Eq. Schrödinger:} \\
 &= \left( \frac{\partial \psi}{\partial t}, i\hbar \frac{\partial \psi}{\partial t} \right) + \left( H\psi, \frac{\partial \psi}{\partial t} \right) \\
 &= \left( \frac{\partial \psi}{\partial t}, i\hbar \frac{\partial \psi}{\partial t} \right) + \left( i\hbar \frac{\partial \psi}{\partial t}, \frac{\partial \psi}{\partial t} \right) = 0
 \end{aligned}$$

## Effet tunnel

### ■ 4.3.3 Barrière de potentiel: effet tunnel

- Dans cette série de simulations, on initialise toujours le même paquet d'onde et on change la hauteur  $V_0$  et l'épaisseur de la barrière
- Cas  $V_0 > E$

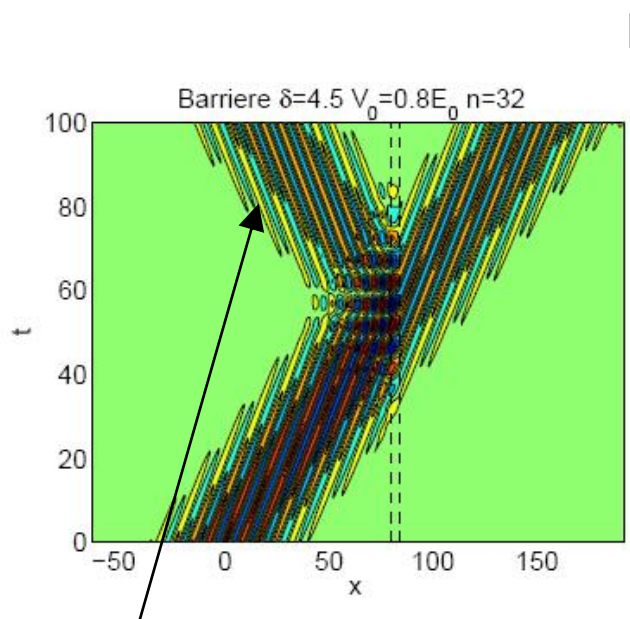


Probabilité non nulle de traverser la barrière même si  $V_0 > E$

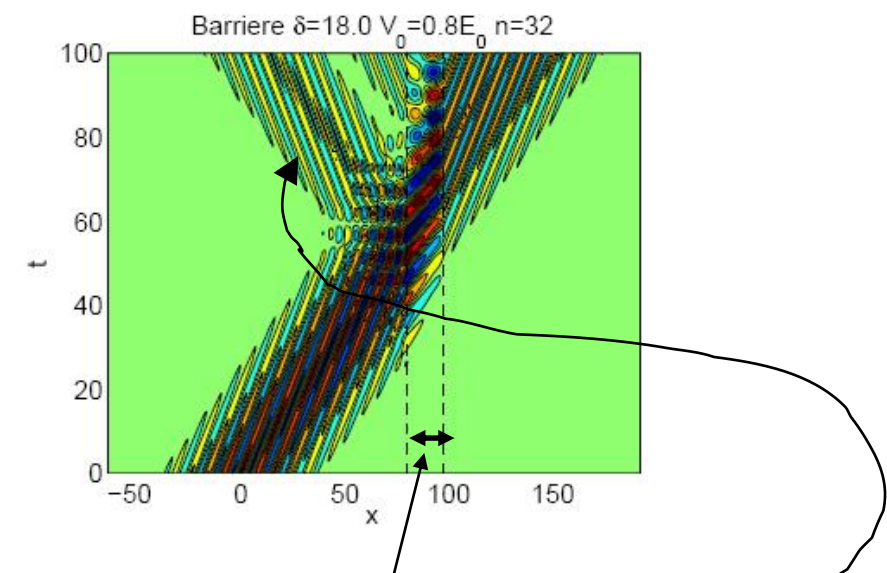
Voir aussi Ex6

# Résonance avec l'épaisseur de la barrière

- **4.3.3 Barrière de potentiel: résonances**
- Cas  $V_0 < E$



Probabilité non nulle de réflexion !

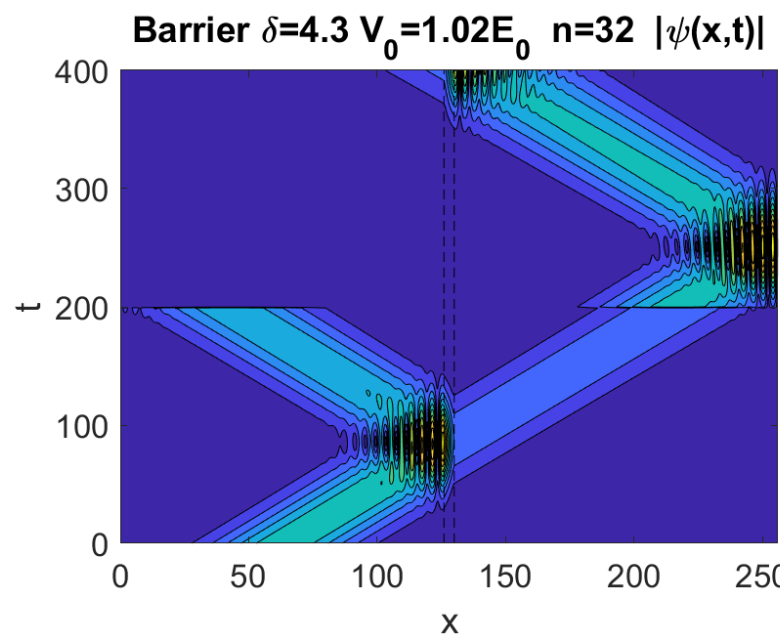
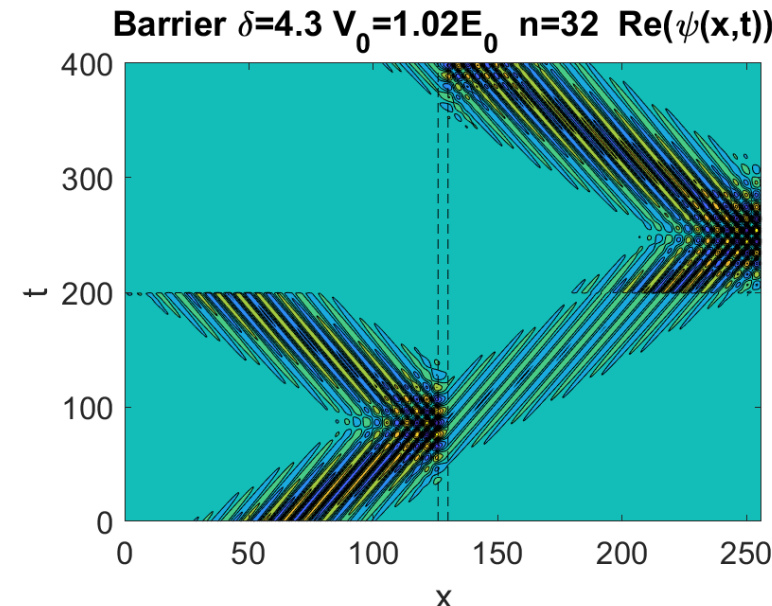
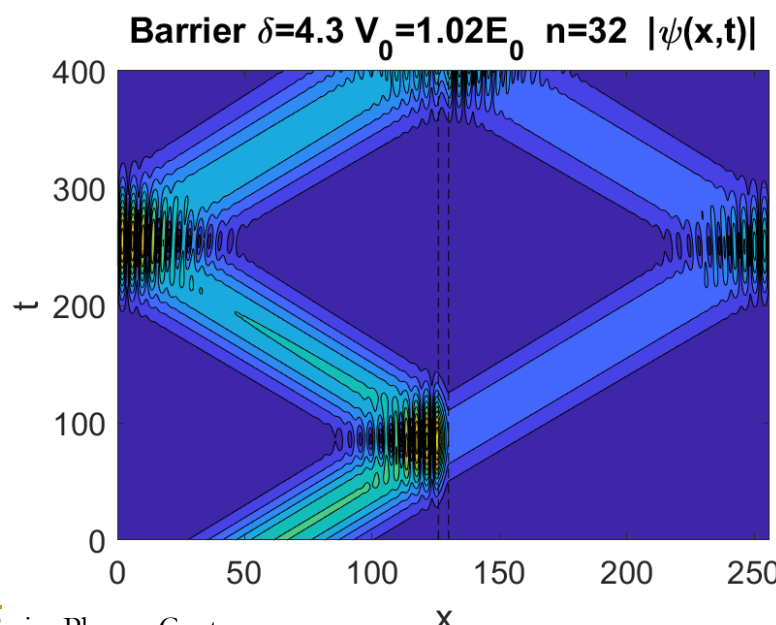
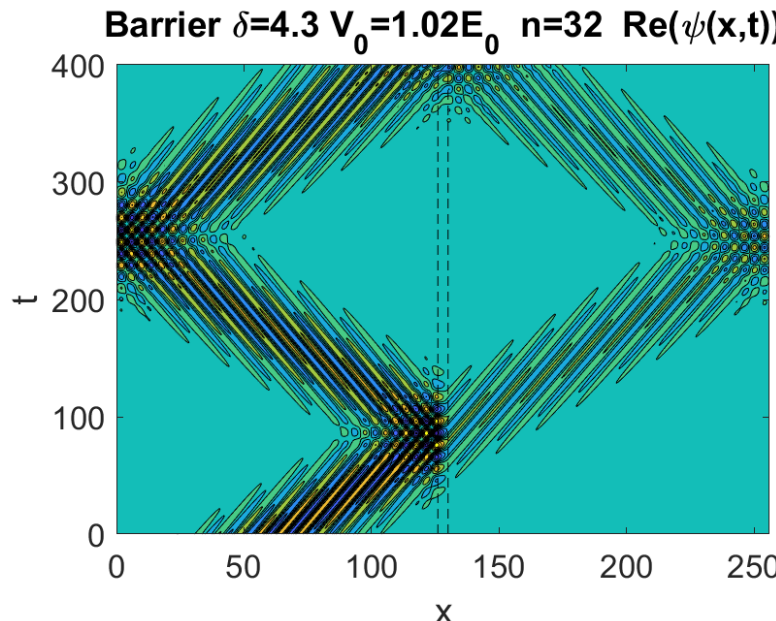


On augmente la largeur de la barrière,  
et la probabilité de réflexion *diminue*...  
(NB: elle est nulle pour  $\delta = n \pi/k_t$ )

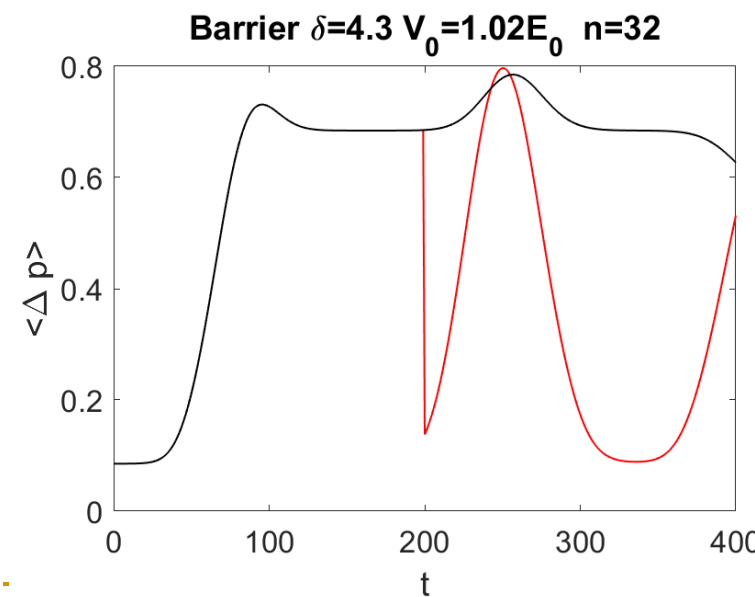
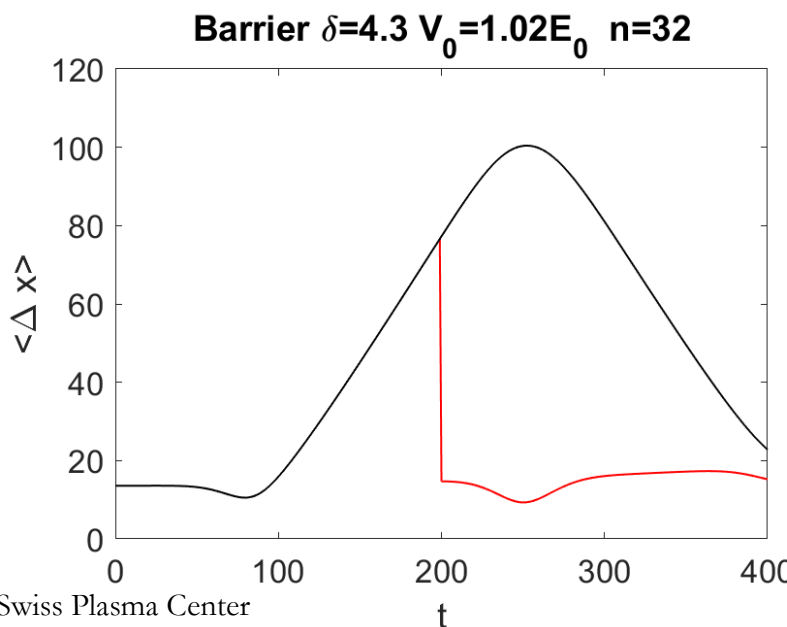
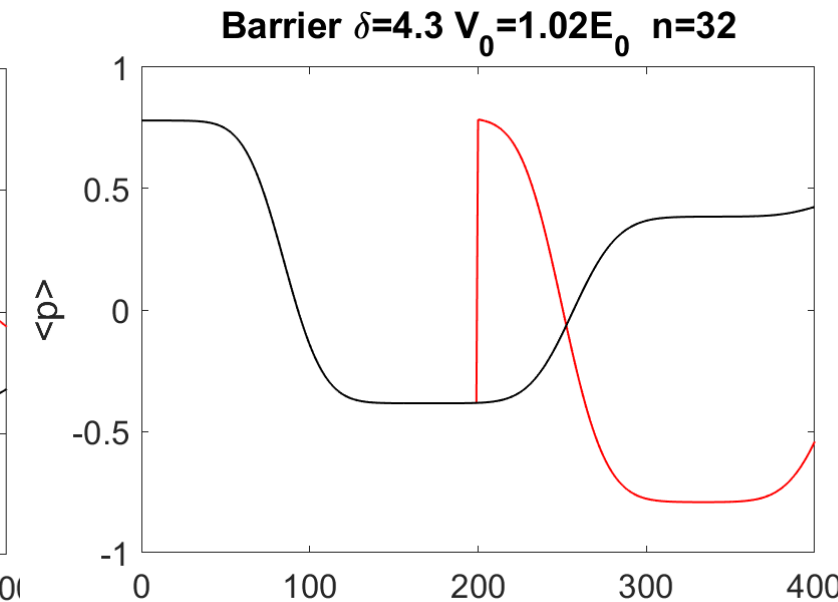
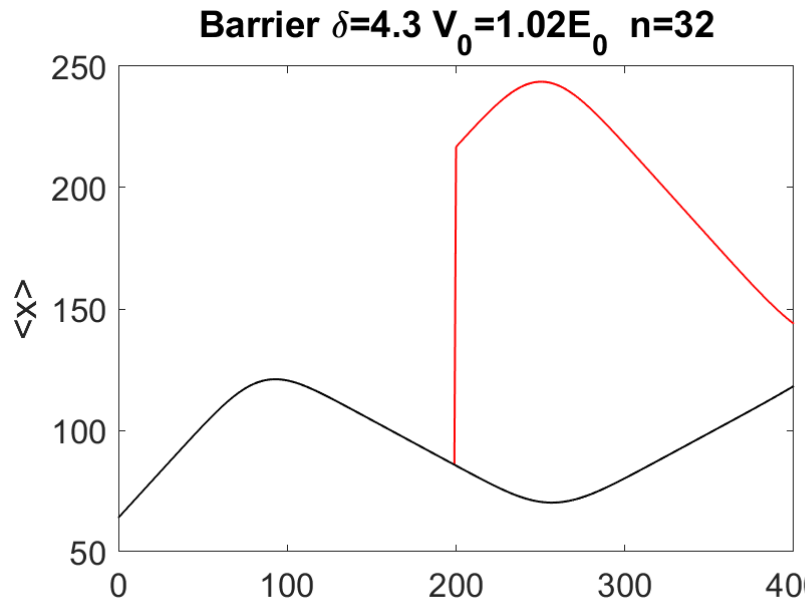
# Détection de particule

- Que se passe-t-il si le détecteur détecte une particule («tac»)?
- Que devient la fonction d'onde?
- La détection conserve-t-elle l'énergie?
- ***Cela fait-il une différence sur l'évolution ultérieure ( $t > t_{\text{tac}}$ ) de la particule si on l'a détectée en  $t = t_{\text{tac}}$ , par rapport au cas où on ne l'a pas détectée ?***
- Complément facultatif Ex.6

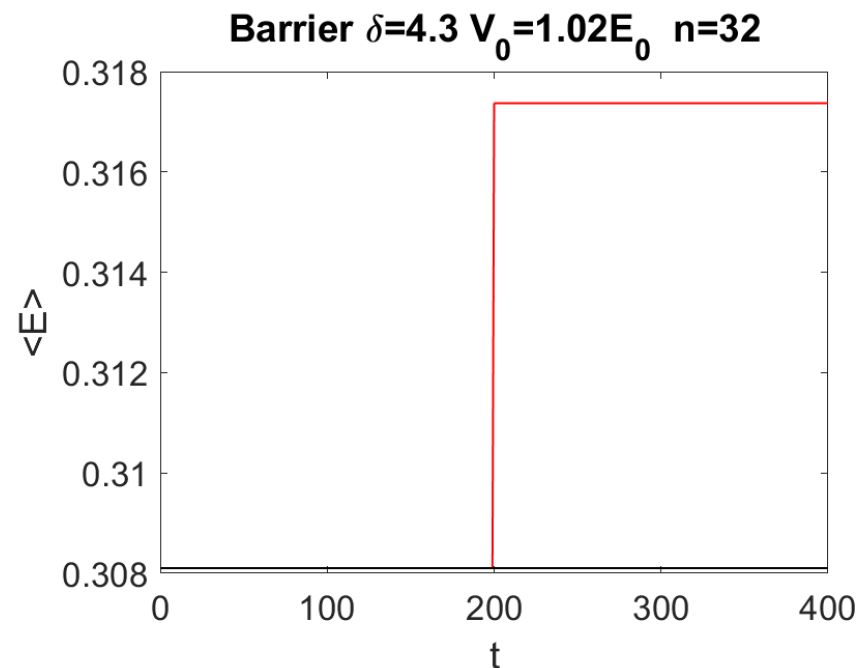
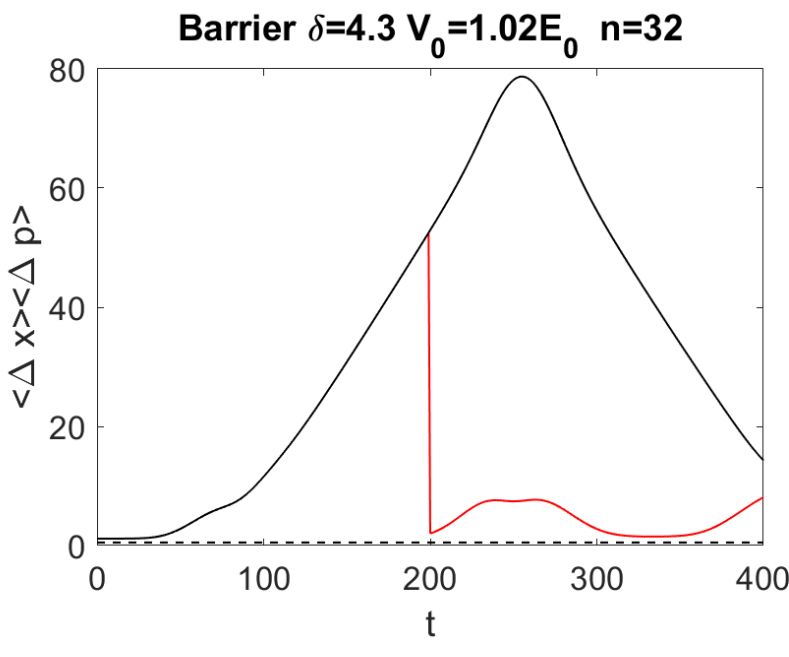
# Détection ou non ...



# Détection ou non ...



# Détection ou non ...



## Oscillateur harmonique

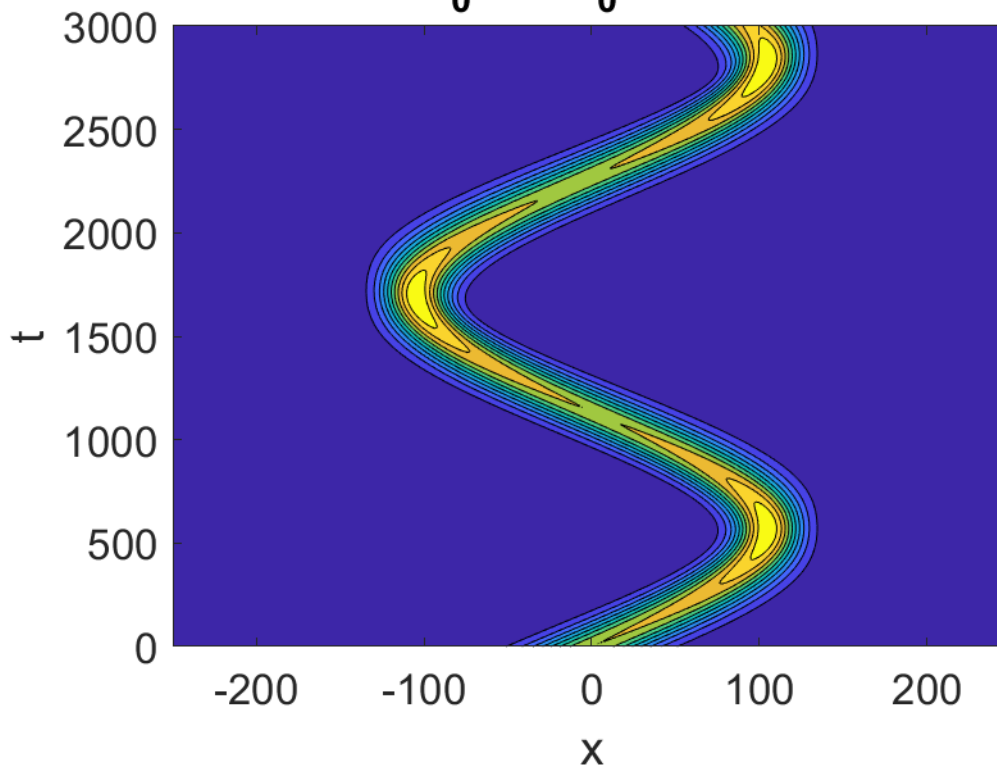
### ■ 4.3.4

$$V(x) = \frac{1}{2}m\omega_0^2x^2$$

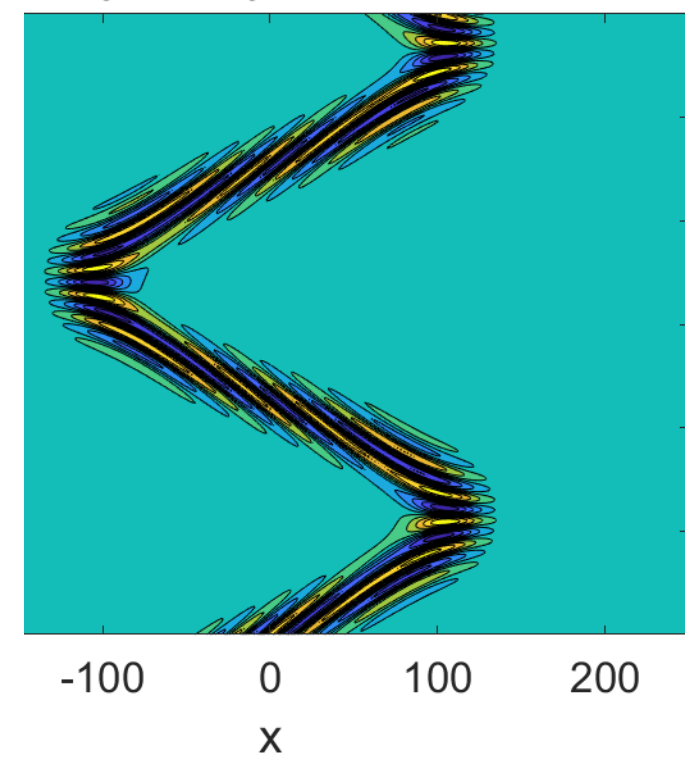
$$V(x) = V_0 \left( \frac{x}{L/2} \right)^2$$

$$\omega_0^2 = \frac{8V_0}{mL^2}$$

Harmo  $V_0=5.5E_0$   $n=24$   $|\psi(x,t)|$



$\circ V_0=5.5E_0$   $n=24$   $\text{Re}(\psi(x,t))$



$$x \in [-L/2 + L/2]$$

$$E_0 = \hbar^2 k_0^2 / 2m$$

## Limite classique

- Thm Ehrenfest:

$$\frac{d \langle p \rangle}{dt} = \langle -\frac{dV}{dx} \rangle$$

$$\frac{d \langle x \rangle}{dt} = \langle \frac{p}{m} \rangle .$$

- ! En général

$$\left\langle \frac{dV(x)}{dx} \right\rangle \neq \frac{dV(\langle x \rangle)}{dx}$$

- Particule classique #1 d'énergie

$$E_{class,1} = \langle H \rangle = \langle p^2/2m + V(x) \rangle$$

- Particule classique #2 de quantité de mvmt

$$p_{class,2} = \langle p \rangle$$

$$E_{class,1} \neq E_{class,2} \quad p_{class,1} \neq p_{class,2}$$

## Limite classique

- Type equation here. Oscillateur harmonique:  $\langle x \rangle$  et  $\Delta x$

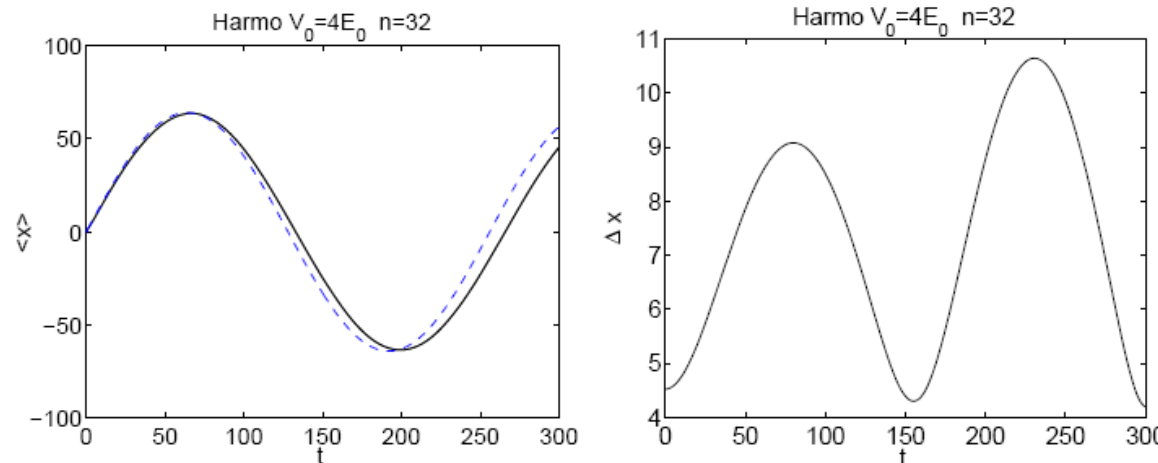
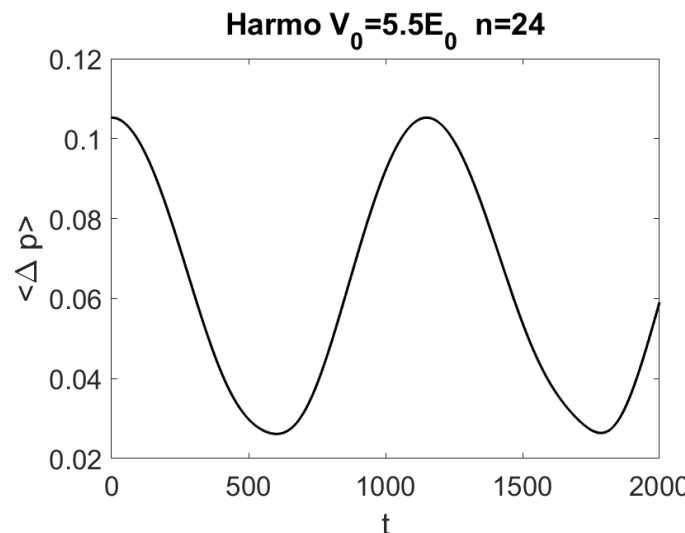
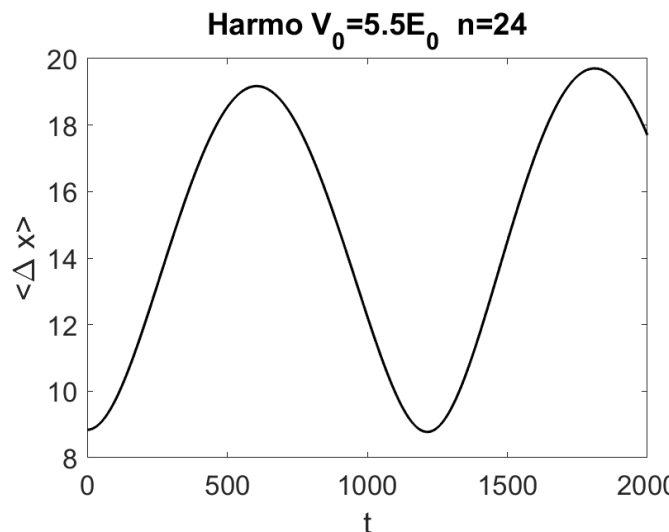


FIG. 4.22 – Particule dans un potentiel harmonique (même simulation que la FIG. 4.21).  
 A gauche : position moyenne  $\langle x \rangle(t)$ , avec en traitillés la solution de la physique classique. A droite, incertitude sur la position  $\langle \Delta x \rangle(t)$ .

- Particule classique d'énergie  $E_{class} = E_{quant} = \langle H \rangle = \langle p^2/2m + V(x) \rangle$   
 $p_{class} \neq p_{quant}$
- Ex.6: particule classique de qté de mvmt  
 $p_{class} = p_{quant} = \langle p \rangle$   
 $E_{class} \neq E_{quant}$

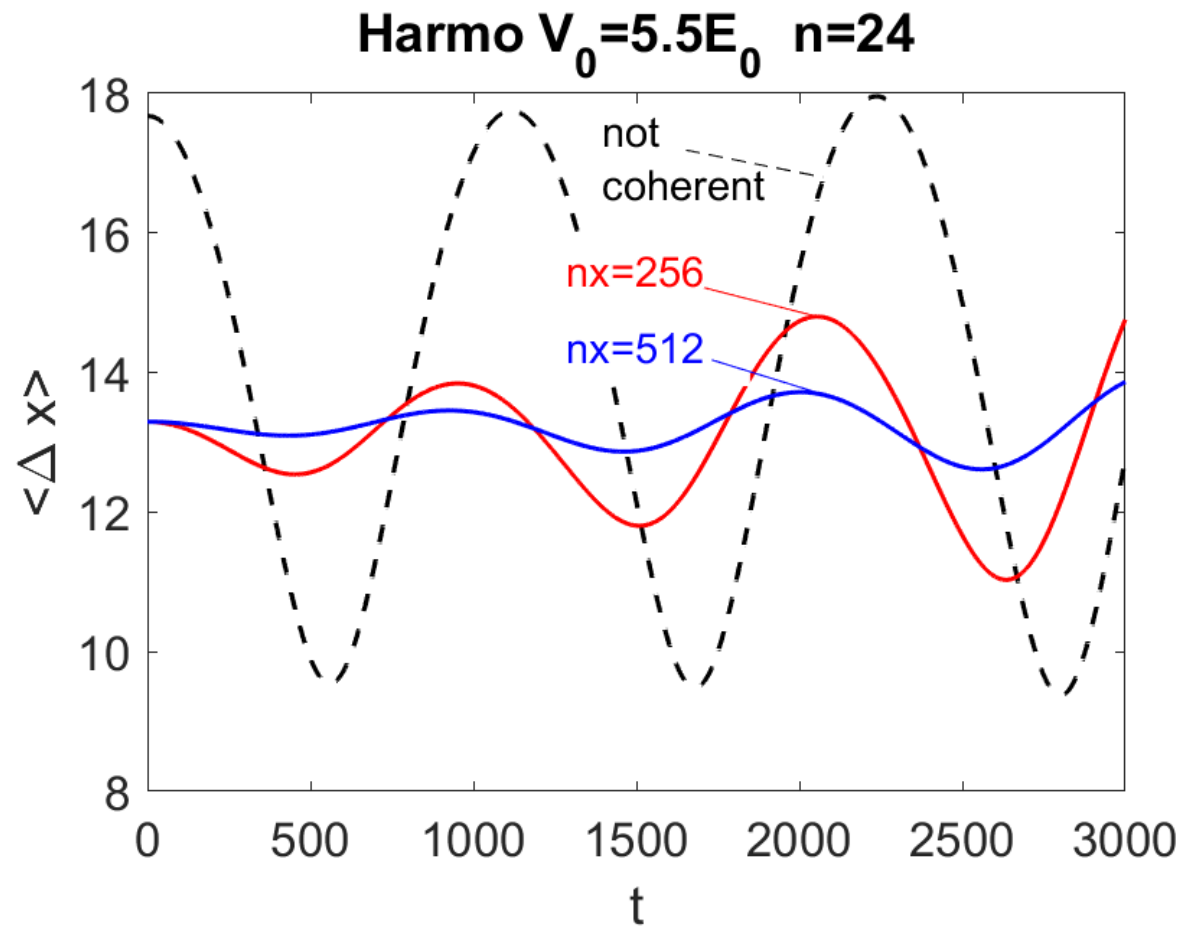
## Limite classique

- Oscillateur harmonique:
- Incertitudes...



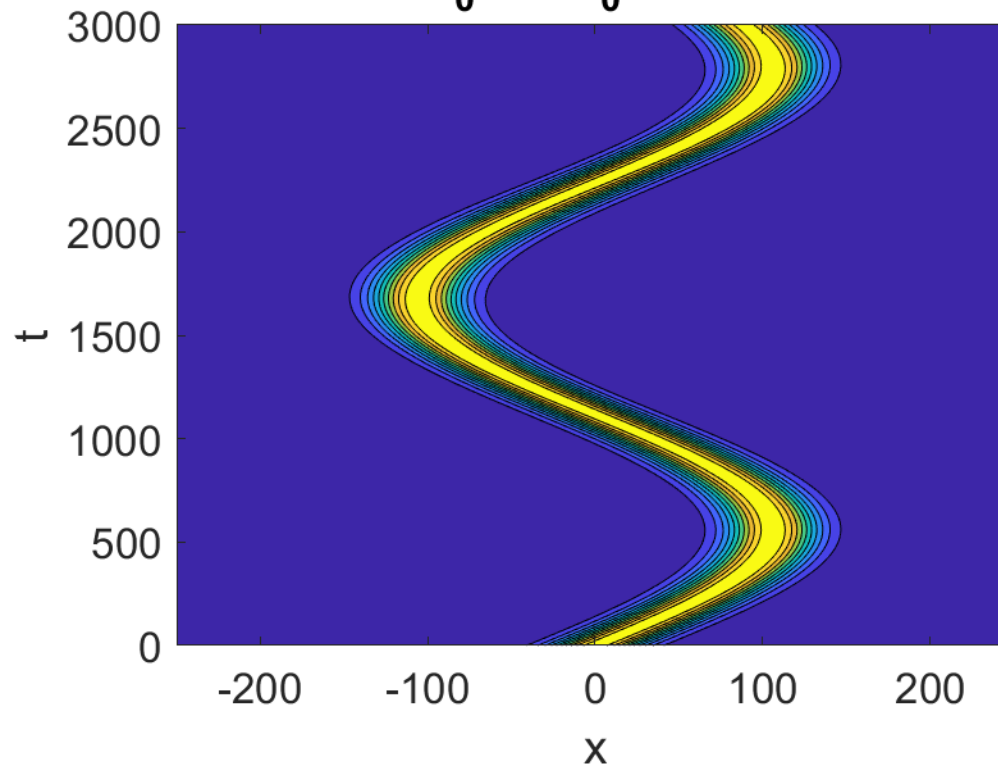
- $\Delta x$  augmente quand  $\Delta p$  diminue et vice-versa... Peut-on trouver des particules quantiques avec  $\Delta x=\text{const}$ ?

# Etats cohérents ou semi - classiques

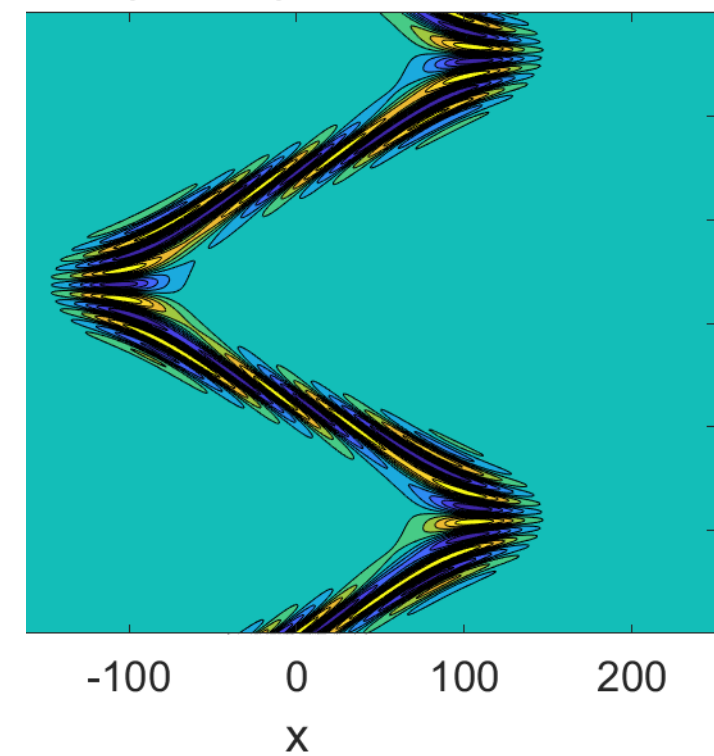


# Etats cohérents ou quasi - classiques

Harmo  $V_0=5.5E_0$  n=24  $|\psi(x,t)|$



no  $V_0=5.5E_0$  n=24  $\text{Re}(\psi(x,t))$



Etats dits «quasi-classiques», tels que leur incertitude  $\Delta x$  est constante au cours du temps. Il s'agit de paquets d'ondes gaussiens avec

$$\Delta x = \sqrt{\hbar/2 m \omega_0}$$

## Schrödinger stationnaire

### ■ 4.3.5 Etats d'énergie bien déterminée:

$$\psi(\vec{x}, t) = \Psi(\vec{x}) \exp(-i\omega t) \quad \omega = E / \hbar$$

### ■ Eq. de Schrödinger stationnaire

$$-\frac{\hbar^2}{2m} \nabla^2 \psi + V \psi = E \psi \quad H(\psi) = E \psi$$

Les énergies possibles de la particule sont les valeurs propres de l'Hamiltonien.  
Les fonctions propres correspondantes sont appelées états propres.

### ■ Discrétisation

$$x_j, j = 1..N \quad \Psi_j = \Psi(x_j)$$

$$\sum_j H_{ij} \Psi_j = E \Psi_i$$

Les énergies possibles de la particule sont approximées par les valeurs propres de la matrice  $H$  résultant de la discrétisation de l'Hamiltonien.  
Les états propres sont approximés par les vecteurs propres de  $H$ .  $\rightarrow \{\Psi_{(n)}, E_n\}$

## Principe de superposition

- Solution Générale de Schroedinger = superposition d'états propres:

$$\psi(\vec{x}, t) = \sum_n c_n \Psi_n(\vec{x}) \exp(-iE_n t / \hbar)$$
- $|c_n|^2$ : probabilité que la particule soit dans l'état no  $n$
- D'où une autre méthode, dite *spectrale*, de résolution de Schroedinger:
  - Opérateur  $H$  : calcul des fonctions et valeurs propres  $\{\Psi_n(x), E_n\}$
  - $\rightarrow$  Matrice  $H$  : calcul des valeurs et vecteurs propres  $\{\Psi_n(x_i), E_n\}$
  - Calcul des  $c_n = \int \Psi_n^*(\vec{x}) \psi(\vec{x}, 0) dx \rightarrow c_n = \sum_j \Psi_n^*(x_i) \psi(x_i, 0)$   
(projection sur les états propres)
  - La solution numérique est:
- Voir aussi <http://falstad.com/qm1d/>

## Puits

### ■ Particule dans un puits de potentiel de profondeur finie

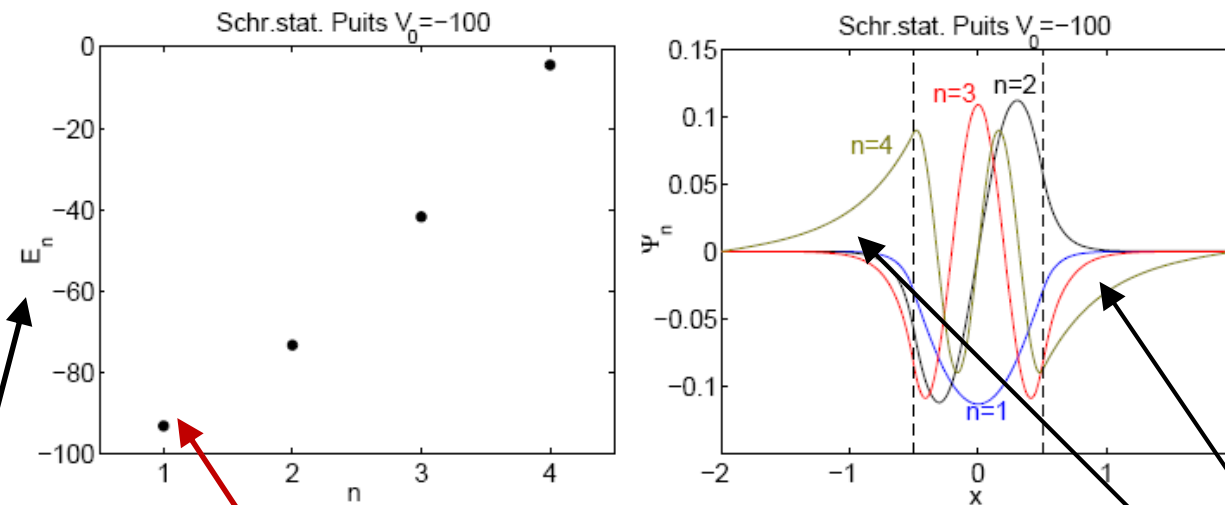


FIG. 4.25 – Spectre des énergies propres (à gauche) et les 4 premiers états propres (à droite) pour une particule confinée dans un puits de potentiel de profondeur finie,  $V_0 = -100$ , entre  $x = -0.5$  et  $x = +0.5$  (lignes traitillées).

Seul un nombre fini de valeurs négatives de l'énergie est possible:  
«spectre discret». Etat fundamental  $E > \min(\text{pot})$

La particule a une probabilité de présence non nulle en dehors du puits

Etats d'énergie positive: «spectre continu»

## ■ Particule dans un potentiel périodique. Solide

$$V(x) = V_0 \sin \left( n_{\text{pot}} \frac{2\pi x}{L} \right)$$

